正品验证
微信扫码
谨防假冒
04269973150232

责任编辑：曹红梅

2768300310161

为什么好题在天星？

20+年	10000+	1→N	6轮审校
专注教辅研发	一线教师编委库	懂一道题，会一类题	严控品质

每周一套AB卷　滚动复习提分快

20+年专注试卷　大品牌质量好

- 金考卷20+年专注做试卷，超千万学子的选择，也许你的老师也刚过！
- 多维细目表组卷，6审6校编题，死磕产品质量，为卷中的每1道题负责！

考点滚动测试　彻底打牢知识

- 参照一轮复习顺序，构建检测单元，全面覆盖高考考点，紧贴复习节奏。
- A卷巩固本单元知识，B卷跨单元滚动测试，从基础到综合，彻底打牢知识点。

严选精挑好题　6维启发解析

- 100题中选1题，只选近1年教育强市的新试题，确保源头品质！
- 全面升级6维解析，规范化、模板化答题，拓宽解题思维，养成答题习惯！

高考倒计时，先看天星刷题表

3—5月	6—8月	9—12月	次年1—2月	次年3—6月
一轮复习同步	最新考情前瞻	一轮效果检测	查漏补缺、专题强化	考场模拟，冲刺抢分
解题觅趣	金考卷高考45套	金考卷10真	试题调研热点题型专练	考前60天——金考卷测评卷
高考基础双练	金考卷高考试题汇编	金考卷领航卷	金考卷预测卷	考前30天——金考卷最后一卷
金考卷一轮双测卷	金考卷五真分类训练	金考卷大市联考卷	试题调研第5辑模型解题法	考前15天——高考临考预测
全年1v1定制——天星高考提分一人一策				

ISBN 978-7-5801-0146-4
9 787580 101464

定价：49.80元

天星

金考卷·一轮复习单元滚动双测卷　地理

主编 杜志建

清江出版社

天星教育　上课认真听 下课练天星

金考卷™ 20+年试卷品牌

一轮复习

单元滚动双测卷

每周一套AB卷　滚动复习提分快





赠

主编 杜志建

收录近1年最新试题，紧跟一轮复习节奏，
从基础到综合，从单元到模拟，**层层滚动彻底打牢知识点！**

36套单元卷	3套模块卷	2套终结卷	11种创新考法
单元划分AB卷 基础重难分层练	模块系统测验 强化综合理解	模拟真实考场 验收一轮成果	聚焦命题趋势 专练创新考法

地理

2027新高考

清江出版社

天星教育 | 上课认真听 下课练天星

金考卷 20+年试卷品牌

一轮复习

单元滚动双测卷

每周一套AB卷 滚动复习提分快

反馈有"礼" "码"上增值

PPT课件
名校模拟卷
视频微课
电子答题卡

主　　编：杜志建
本册编委：王　荣　王雪梅　张铭琦　侯相君
　　耿子林　郭军凯　景华府
本册审订：天星教育研究院

地理

2027新高考

漓江出版社
·桂林·

目录

CONTENTS

别怕走得慢，每一粒土壤的形成，都经历漫长而伟大的风化与沉积。

第一单元　地球与地图 …… 01
第二单元　宇宙中的地球与地球运动
A卷　基础过关检测 …… 03
B卷　滚动提升检测 …… 05
第三单元　大气的组成与受热过程、热力环流
A卷　基础过关检测 …… 07
B卷　滚动提升检测 …… 09
第四单元　天气、气压带、风带与气候
A卷　基础过关检测 …… 11
B卷　滚动提升检测 …… 13
第五单元　地球上的水与水的运动
A卷　基础过关检测 …… 15
B卷　滚动提升检测 …… 17
第六单元　地表形态的塑造
A卷　基础过关检测 …… 19
B卷　滚动提升检测 …… 21
第七单元　植被与土壤
A卷　基础过关检测 …… 23
B卷　滚动提升检测 …… 25
第八单元　自然环境的整体性和差异性
A卷　基础过关检测 …… 27
B卷　滚动提升检测 …… 29
第九单元　自然灾害与3S技术 …… 31
模块检测Ⅰ　自然地理 …… 33
第十单元　人口的变化
A卷　基础过关检测 …… 35
B卷　滚动提升检测 …… 37
第十一单元　乡村和城镇
A卷　基础过关检测 …… 39
B卷　滚动提升检测 …… 41

高考新风向

创设多元情境

时代热点

· P03,T7—8　我国在地球内部探索领域的成果
· P31,T1—3　复合型极端天气
· P44,T18—20　新质农业
· P45,T12—14　农货直播
· P48,T15—17　从"机器换人"到"数据换人"
· P65,T6—8　省间小时级绿电交易
· P68,T17　雅鲁藏布江下游水电工程开工
· P69,T10—12　"人造太阳"

生活地理

· P03,T14—15　居民楼窗户外加设遮阳板
· P07,T12—13　冬季门帘飘动
· P14,T16　拍摄动物的最佳月份和时间
· P41,T13—14　北京市民不同距离的出行方向
· P51,T1—2　公共图书馆图书借阅
· P54,T18　传统餐饮与外卖餐饮

传统文化

· P39,T9—10　南肖瑞寨
· P42,T18　青塘粽子与端午节
· P56,T19　渭河与漕渠
· P58,T14—16　山地型传统村落空间形态
· P67,T1—2　宅山堰水利工程

概念解读

· P07,T10—11　深积云与沙尘气溶胶
· P09,T7—8　模状云
· P11,T1—2　切变线
· P13,T5—7　锢囚锋
· P16,T19—20　净热通量
· P25,T10—11　土壤潜育化与潜育化
· P35,T10—12　人口抚养比

目录

CONTENTS

别怕走得慢，每一粒土壤的形成，都经历漫长而伟大的风化与沉积。

创新多样设问

地理过程

- P17，T13—14　一次平流海雾形成—消亡过程
- P30，T19(3)　秦岭“石海”的形成过程
- P49，T12—14　炒货产业发展
- P52，T18—20　哈尔滨冰雪旅游发展历程
- P59，T6—8　广州、深圳都市圈空间演进
- P78，T18(1)　武汉都市圈制造业空间格局演变
- P82，T19(1)　冰前湖的形成过程

实践探究

- P40，T21　我国小城镇建设
- P42，T19　乡村空心化
- P46，T19　学习“寿光模式”
- P62，T21(2)　绘制监测系统结构框图
- P68，T19　越南制造业发展
- P76，T19(1)　说明所给图中错误

开放探究

- P46，T19(3)　是否赞同在开州区继续种植番茄大红果
- P50，T18(3)　任选所给问题回答启示或建议
- P72，T17(3)　为观点提供理论依据

贯通地理思维

时空综合

- P14，T19　“列车效应”
- P18，T17　德雷克海峡与马尔维纳斯寒流
- P34，T17　热带辐合带
- P38，T19　广西人口老龄化时空演变
- P66，T18—20　全球半导体产业贸易

人地协调

- P15，T5　生态补水工程水源
- P25，T8—9　沉陷地充填复垦
- P32，T14—16　伊犁草原草场退化
- P61，T4—6　“以路治沙”模式
- P70，T19—20　人工鱼礁与景观礁

第十二单元　农业区位因素及其变化
A卷　基础过关检测 …… 43
B卷　滚动提升检测 …… 45
第十三单元　工业区位因素及其变化
A卷　基础过关检测 …… 47
B卷　滚动提升检测 …… 49
第十四单元　服务业区位因素及其变化
A卷　基础过关检测 …… 51
B卷　滚动提升检测 …… 53
第十五单元　交通运输布局 …… 55
模块检测Ⅱ　人文地理 …… 57
第十六单元　城市、产业与区域发展 …… 59
第十七单元　资源、环境与区域发展
A卷　基础过关检测 …… 61
B卷　滚动提升检测 …… 63
第十八单元　区际联系与区域协调发展
A卷　基础过关检测 …… 65
B卷　滚动提升检测 …… 67
第十九单元　自然资源与国家安全
A卷　基础过关检测 …… 69
B卷　滚动提升检测 …… 71
第二十单元　生态环境与国家安全
A卷　基础过关检测 …… 73
B卷　滚动提升检测 …… 75
模块检测Ⅲ　区域发展与资源、环境安全 …… 77

一轮终结验收

高考仿真预测卷Ⅰ …… 79
高考仿真预测卷Ⅱ …… 81

图书在版编目(CIP)数据

金考卷．一轮复习单元滚动双测卷 地理／杜志建主编．—— 桂林：漓江出版社，2025．1(2026．2 重印)．—— ISBN 978-7-5801-0146-4

Ⅰ．G634

中国国家版本馆 CIP 数据核字第 2024KT7767 号

金考卷·一轮复习单元滚动双测卷 地理

JINKAOJUAN·YILUN FUXI DANYUAN GUNDONG SHUANGCEJUAN DILI

主　　编　杜志建

出 版 人　梁　志
责任编辑　曹红梅
责任监印　黄菲菲

出版发行　漓江出版社有限公司
社　　址　广西桂林市南环路 22 号
邮　　编　541002
发行电话　0773-2582200
邮购热线　0773-2582200
网　　址　www.lijiangbooks.com
微信公众号　lijiangpress

印　　制　河南灏博印刷有限公司
开　　本　890 mm × 1240 mm　1/8
印　　张　16.5
字　　数　532 千字
版　　次　2025 年 1 月第 1 版
印　　次　2026 年 2 月第 2 次印刷
书　　号　ISBN 978-7-5801-0146-4
定　　价　49.80 元
审 图 号　GS(2026)0287 号

漓江版图书：版权所有，侵权必究
漓江版图书：如有印装问题，请与当地图书销售部门联系调换

声明

基于对知识和创作的尊重，本书向所选文章、图片的作者给予补贴。因条件所限未能及时联系的作者，我们在此深表歉意，当您看到本书时，请与我们联系，以便我们向您支付补贴和赠送样书。

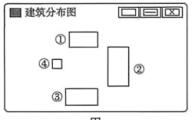
联系方式：0371-68698015

第一单元 地球与地图

满分：100 分　　时间：45 分钟　　答案 P01

一、选择题：本大题共 20 小题，每小题 4 分，在每小题给出的四个选项中，只有一项是符合题目要求的。

［2026 安徽芜湖期中］图甲示意某 GIS 软件显示的某校部分建筑分布，图乙示意其属性（如用途、建筑面积、建筑高度等）的浏览窗口。据此完成 1—2 题。



甲

建筑分布浏览窗口

用途	建筑面积(m²)	建筑高度(m)
教学楼	4 800	26
喷水池	50	1
学生宿舍	2 400	18
食堂	800	10

乙

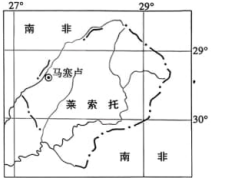
1. 浏览窗口中选中的对象（黑块）对应的图形是（　　）

A. ①　　B. ②
C. ③　　D. ④

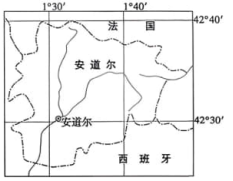
2. 下列说法正确的是（　　）

A. 学生宿舍在食堂的东南方向
B. 食堂在喷水池的西北方向
C. 学生宿舍在教学楼的西南方向
D. 教学楼在喷水池的正南方向

［2026 成都树德中学一模］莱索托被南非环绕，其首都是马塞卢（图甲）。安道尔是欧洲西南部的袖珍国，位于法国与西班牙之间的比利牛斯山脉，首都安道尔因滑雪闻名（图乙）。据此完成 3—4 题。



甲



乙

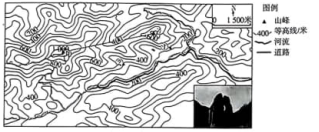
3. 安道尔位于马塞卢的（　　）

A. 东南方向　　B. 东北方向
C. 西北方向　　D. 西南方向

4. 与莱索托相比，安道尔发展滑雪运动的主要有利自然条件有（　　）

①纬度较高　　②海拔较高
③受寒流影响大　　④深居内陆
A. ①②　　B. ③④
C. ①③　　D. ②④

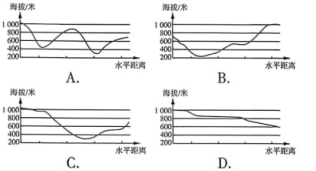
［2026 江西宜春期中］某中学组织学生到浙江省进行野外考察，下图为考察区域的等高线分布及景观图。据此完成 5—6 题。



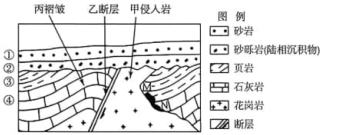
5. 图中（　　）

A. 河流流向先向西再分别转向西北、西南
B. 道路多沿半山腰分布，以利于徒步
C. 考察点①②间的直线距离约 2.1 千米
D. 南北纬度差约为 2°，东西经度差约为 4°

6. 考察组同学绘制的从甲山峰到乙山峰沿线的四幅地形剖面图中，正确的是（　　）



［2026 湖北孝感期末］同一时期在海洋中形成的砂岩、页岩、石灰岩在水平方向上是从浅海到深海依次排列的。在地质学中，海退是指海岸线向海洋推进，海进是指海岸线向陆地推进。下图是某海域地质剖面图，①→④为不同地质时期的岩层。据此完成 7—9 题。



7. 图中岩层的更替与该地海岸线的变化对应正确的是（　　）

A. ④ 海进 ③　　B. ③ 海进 ②
C. ③ 海退 ①　　D. ② 海进 ①

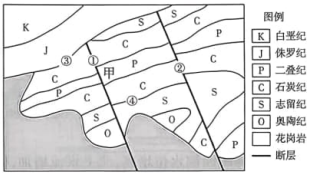
8. 下列关于图示地质事件发生的原因，正确的有（　　）

①丙褶皱是岩层水平挤压的结果
②乙断层是岩层垂直移动的结果
③甲侵入岩沿着断层侵入而形成
④MN 是岩浆侵入引起的围岩变质
A. ①②③　　B. ①②④
C. ①③④　　D. ②③④

9. 与②→①时期海岸线变化一致的现象是（　　）

A. 晚古生代两栖类动物出现
B. 海沟位置向大陆方向移动
C. 部分珊瑚岛国举国搬迁
D. 大陆总面积可能扩大

［2026 常州高级中学期中］地层的接触关系是指新老地层在空间上的相互关系或者叠置状态。沉积岩地层之间的接触关系通常有整合、假整合和不整合三种情况。其中，假整合接触指的是新老地层平行但不连续，表明地层形成期间该地有过沉积间断或者地面的侵蚀，但是没有发生过褶皱运动。下图为某地区地质平面图。据此完成 10—12 题。



10. 图中四处岩层接触关系为假整合的是（　　）

A. ①　　B. ②　　C. ③　　D. ④

11. 关于该地区形成的地质过程，先后顺序组合正确的是（　　）

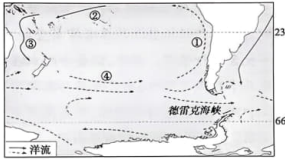
A. 沉积作用—断层—岩浆侵入—水平挤压—沉积作用
B. 沉积作用—水平挤压—岩浆侵入—断层—沉积作用
C. 沉积作用—水平挤压—断层—岩浆侵入—沉积作用
D. 沉积作用—水平挤压—断层—沉积作用

12. 下列关于①③④界面的描述，正确的是（　　）

A. ①西侧的岩层相对上升
B. ④附近可见古猿人化石
C. ③附近未发生侵蚀作用
D. ③处附近沉积从未间断

考生号　姓名　班级　学校
装　订　线　内　不　要　答　题

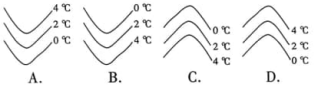
[2026 江苏镇江质检]近年来研究发现德雷克海峡内的海冰进退对全球气候变化有重大影响,冰进(海冰较常年增多)会导致德雷克海峡水流通量减少,海峡西侧水位增高,北上水流增加,冰退则相反。下图为南太平洋附近海域洋流分布示意图。据此完成13—14题。



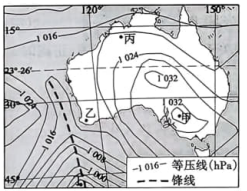
13. 关于图中洋流的性质及成因的描述,正确的是 (　　)

A. ①寒流　密度差异
B. ②暖流　海水补偿
C. ③寒流　海陆轮廓
D. ④寒流　盛行西风

14. 德雷克海峡西侧水位增高,北上水流增加,使流经海域的等温线发生变化。图中能正确表示该洋流的是 (　　)



[2026 江西宜春开学考试]独特的地理位置与国土面积使澳大利亚大气活动中心的势力、位置、性质发生季节变化。下图为某日澳大利亚海平面等压线分布示意图。据此完成15—17题。



15. 据等压线分布推测,该日可能为我国二十四节气中的 (　　)

A. 惊蛰　B. 小暑　C. 寒露　D. 立冬

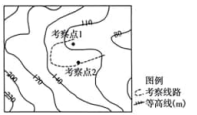
16. 图中锋的性质及其移动方向为 (　　)

A. 冷锋　顺时针
B. 冷锋　逆时针
C. 暖锋　顺时针
D. 暖锋　逆时针

17. 甲、乙、丙、丁四地 (　　)

A. 图示时刻丙地天气晴朗干燥
B. 图示季节乙地气候干燥少雨
C. 图示时刻丁地正形成超强台风
D. 甲地气压值可能为 1 036 hPa

[2026 湖南长沙一模]湖南某中学在当地开展地理野外考察,在考察过程中观察到考察点1植被茂密,为阔叶林,考察点2植被相对稀疏,为针阔混交林。同学们采集了两考察点典型树木的叶片制作植物标本,发现同种植物叶片存在差异,查询资料了解该地针叶树种为马尾松,是20世纪50年代当地植树造林选取的先锋树种。下图示意此次考察的路线及主要考察点。据此完成18—20题。



18. 造成考察点1和考察点2植被差异的主要原因是 (　　)

A. 坡向　B. 热量　C. 水分　D. 土壤

19. 两考察点同种植物叶片的特征可能为 (　　)

A. 考察点1叶片为肉质
B. 考察点1叶片内卷
C. 考察点2叶片面积更大
D. 考察点2叶片革质层更厚

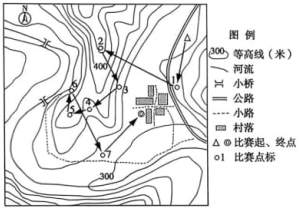
20. 经过自然演替,未来该区域两考察点植被将会 (　　)

A. 以针叶林为主,差异不断缩小
B. 以阔叶林为主,差异不断缩小
C. 植被类型不变,差异不断扩大
D. 植被类型改变,差异不断扩大

二、非选择题:本大题共1小题,共20分。

21. [2026 成都外国语学校检测](20分)阅读图文材料,完成下列要求。

定向越野运动是指运动员利用地图和指北针到达地图上所指示的各个点标,以最短时间按顺序到达所有点标及终点者为胜。重庆某地举办夏季定向越野比赛,该地为亚热带季风气候,夏季多暴雨,年均降水量约1 300 mm,下图为此次定向越野运动所用地图(等高距20 m)。



(1)简述此次定向越野运动地区的地形特征。(4分)

(2)点标4处有“快速通过”指示牌,提醒参赛者勿在此停留,试解释原因。(4分)

(3)从地形角度对比分析点标1至点标2段与点标6至点标7段的难易度。(6分)

(4)当选择从点标6到点标7的路线时,有经验的参赛者会“舍近取远”,走小路而放弃沿图中箭头的近路。请分析近路对于参赛者的不利影响。(6分)

装订线内不要答题

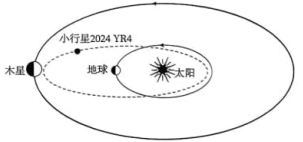
第二单元 宇宙中的地球与地球运动

A卷 基础过关检测

满分：100 分　时间：45 分钟　答案 P02

一、选择题：本大题共 20 小题，每小题 4 分，在每小题给出的四个选项中，只有一项是符合题目要求的。

［2026 天津市实验中学检测］2024 年 12 月 27 日，智利的小行星撞击地球警报系统站发现一颗编号为 2024 YR4 的小行星，该小行星的轨道呈现拉长的椭圆形，近日点位于地球轨道以内，远日点则接近木星轨道，绕太阳一圈约需要 4 年，下图为该小行星的轨道示意图。据此完成 1—2 题。



1. 对小行星 2024 YR4 的推测，正确的是（　）
A. 公转角速度比地球更快
B. 所属的天体系统是地月系
C. 可能与土星发生碰撞
D. 可能会穿越火星公转轨道

2. 小行星 2024 YR4 表面没有气体，其原因是（　）
A. 距离太阳太远　B. 自转速度太快
C. 表面温度太高　D. 体积质量太小

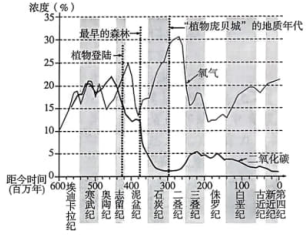
［2026 辽宁锦州期中］下图示意北京时间 2024 年 9 月 17 日 13：22 我国首颗太阳探测科学技术试验卫星“羲和号”拍摄的太阳影像。据此完成 3—4 题。



3. 图示线框中突然增亮的斑块表示的太阳活动最可能是（　）
A. 黑子　B. 耀斑
C. 日珥　D. 日冕物质抛射

4. 若该日图示线框中的太阳活动剧烈爆发，则下列现象可能发生的有（　）
①黑龙江漠河拍摄到极光　②信鸽迷航事件多发　③全球各地地震频繁　④长波通信中断
A. ①②　B. ①③
C. ②④　D. ③④

［2026 福建漳州开学考试］位于内蒙古乌达煤田的远古森林，被火山喷发产生的巨量火山灰掩埋而封存于火山凝灰岩内，故称为“植物庞贝城”。下图示意地质史上大气中二氧化碳和氧气浓度变化情况。据此完成 5—6 题。



5. 形成“植物庞贝城”的主要植物是（　）
A. 蕨类植物　B. 裸子植物
C. 被子植物　D. 苔藓植物

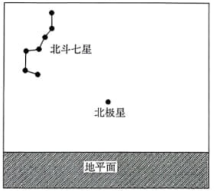
6. 推测发生生物大灭绝的地质年代是（　）
A. 寒武纪前期　B. 石炭纪
C. 二叠纪末期　D. 侏罗纪

时代热点［2026 安徽滁州质检］2025 年我国在地球内部探索领域成果显著。我国深地塔科 1 井（位于我国新疆）钻至 10 910 m，获得了亚洲首份地下万米的岩芯标本，并在 10 000 m 的地下发现了油气存在；“奋斗者”号在太平洋海沟 9 533 m 处发现化能合成生命群落，中国科学院研究揭示地壳断裂带处瞬间释放的化学能可为地下微生物提供能量。据此完成 7—8 题。

7. 下列关于材料中不同深度地理位置的圈层归属，判断正确的是（　）
A. 深地塔科 1 井钻至 10 910 m 处—地幔
B. “奋斗者”号探测 9 533 m 处—岩石圈
C. 海沟底部地质流体活动处—地核
D. 地壳断裂带微生物生存处—地壳

8. “奋斗者”号在太平洋海沟 9 533 m 处发现化能合成生命群落，该生命群落得以生存的能量来源主要是（　）
A. 太阳辐射能　B. 海洋波浪能
C. 海洋潮汐能　D. 地球内部化学能

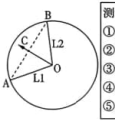
［2026 襄阳五中检测］2025 年 7 月，W 中学研学小组在宜昌市某地（31°N，111°E）附近用天文望远镜对北斗七星及北极星进行了观测，并绘制了北斗七星和北极星的相对位置示意图（下图）。据此完成 9—10 题。



9. 为了保证观测效果，观测北极星时天文望远镜镜筒的倾角约为（　）
A. 21°　B. 31°　C. 59°　D. 69°

10. 在晴朗的夜空，可观测北极星时间较长的日期是（　）
A. 1 月 1 日　B. 3 月 5 日
C. 9 月 3 日　D. 10 月 25 日

［2026 山东烟台期中］山东某地（36°N，117°E）高中生在操场上把一细直木杆垂直插入地面，开展正午太阳高度测量活动。第一天，同学们通过杆影确定方位，并计算出当地的正午太阳高度为 70°，之后连续两天测量发现正午太阳高度角在增大。下图示意测量活动的步骤。据此完成 11—13 题。



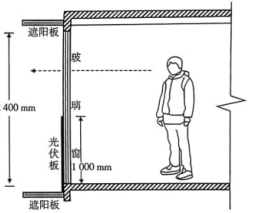
测量步骤：
①绘制北京时间9:20的杆影L1；
②以此时的杆影长为半径画圆；
③记录杆影端点再次与圆重合时的杆影L2；
④连接杆影L1、L2的端点A、B；
⑤找出AB线段中点C，连接OC。

11. 测量时，当杆影与 OC 重合时，观察到的太阳方位为（　）
A. 东南　B. 正北
C. 西北　D. 正南

12. 测量首日当杆影端点重新落在圆周上时，北京时间为（　）
A. 14：40　B. 14：52
C. 15：04　D. 16：08

13. 测量期间，当地有可能出现的现象是（　）
A. 正午日影先向北后再向南
B. 昼长夜短，且昼渐长夜渐短
C. 日出、日落时刻逐日提前
D. 日出东南方向，日落西南方向

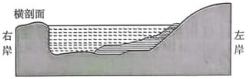
生活地理［2026 河南商丘期中］水平遮阳是常见的遮阳方式，在我国，水平遮阳板适宜布置在南向窗户或低纬度地区的北向窗户。在南向窗户外部加装光伏板，既能遮阳，又能增加小区电力供应。下图为我国东部地区（30°N）某居民楼典型南向房间示意图（$\tan 6.5° \approx 0.11$，$\tan 22° \approx 0.40$，$\tan 30° \approx 0.58$）。据此完成 14—15 题。



14. 若不加装光伏板，为了保证该房间在夏半年正午时充分遮阳，则水平遮阳板最适合的长度为（　）
A. 200 mm
B. 600 mm
C. 1 400 mm
D. 2 000 mm

15. 该居民楼加装图示光伏板后，光伏板冬季发电量高于夏季，原因可能是当地冬季（　）
①日照时间长　②太阳高度小
③晴天较多　④太阳辐射强
A. ①②　B. ②③　C. ③④　D. ①④

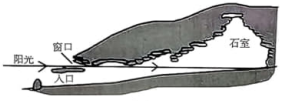
［2026 成都树德中学检测］下图示意某一平直河段的剖面，面对河流下游方向，左手方视为左岸，右手方视为右岸。据此完成 16—17 题。



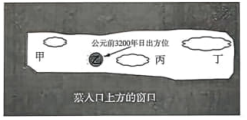
16. 此河流位于 （ ）
A. 南半球　　B. 北半球
C. 赤道地区　　D. 极圈附近

17. 若此河流是一条自东向西流动的河流，它哪一岸的河堤需要特别加固 （ ）
A. 东岸　B. 西岸　C. 北岸　D. 南岸

［2026 福建福州质检］爱尔兰纽格莱奇墓（约 53°41′N，6°28′W）建造于公元前 3 200 年左右，当时的黄赤交角为 24°7′。几千年来，冬至日清晨的阳光透过墓入口上方的窗口，穿越甬道照亮墓内部的石室（如图甲）。2020 年开始，当地时间每年的 12 月 21 日 8:30—9:30，工作人员对此盛景的全过程进行网络直播。图乙示意石室内通过窗口观察到的太阳位置。据此完成 18—20 题。



甲



乙

18. 我国天文考古爱好者开始收看直播的北京时间为 （ ）
A. 21 日 8:30　　B. 21 日 16:30
C. 22 日 8:30　　D. 22 日 16:30

19. 墓入口的朝向为 （ ）
A. 东南　　B. 东北
C. 正东　　D. 正北

20. 2025 年冬至日直播时，太阳将出现的位置为 （ ）
A. 甲　B. 乙　C. 丙　D. 丁

二、非选择题：本大题共 1 小题，共 20 分。

21. ［2026 信阳高级中学检测］（20 分）阅读图文材料，完成下列要求。

2025 年 6 月 1 日，从福州（约 26°N，119°E）出发的李老师，到达乌鲁木齐（约 44°N，88°E），开始为期 1 个月的支教。他到达时发现乌鲁木齐太阳刚刚从地平线升起，而福州的学生已经在阳光明媚的教室上第一节课了。

（1）比较该日乌鲁木齐与福州的昼长差异，并解释原因。（6 分）

李老师在给乌鲁木齐的学生讲到《地球的运动》时，展示了北京的日晷景观图（如下图）。它是赤道式日晷，晷盘上有时间刻度，当太阳光照在日晷上时，晷针的影子投向晷盘面，并以此来指示时刻。



（2）描述夏至日从日出到日落，北京晷针投影方向的变化规律，并说出影响日晷计时效果的自然因素。（8 分）

经过为期 1 个月的支教，李老师于 6 月 30 日启程返回福州。

（3）简述李老师支教期间，乌鲁木齐正午太阳高度的变化规律并说明理由。（6 分）

装订线内不要答题

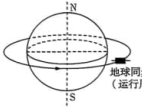
第二单元　宇宙中的地球与地球运动

B卷｜滚动提升检测

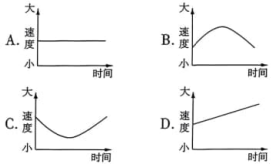
满分：100 分　时间：75 分钟　答案 P04

一、选择题：本大题共 16 小题，每小题 3 分，在每小题给出的四个选项中，只有一项是符合题目要求的。

［2026 广东汕头二模］2024 年 3 月 5 日，中国气象卫星风云四号 B 星经历了 18 天的“太空搬家”后，从 133°E 成功转移到 105°E，在新的位置上继续开展定点观测及服务。该卫星公转周期与它的轨道高度呈正相关，“搬家”过程中先将轨道抬升了 129 km，再降低至原始高度，从而使卫星抵达“新家”。下图示意风云四号 B 星运行轨道。据此完成 1—2 题。

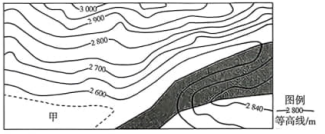


1. 风云四号 B 星“搬家”期间，其公转的角速度大小变化为　（　）



2. “太空搬家”后风云四号 B 星的运行轨道与地球公转的轨道面夹角大小　（　）
A. 始终保持不变
B. 一直持续变大
C. 先变大后变小
D. 先变小后变大

［2026 江西南昌一模］下图是青海省某光伏发电站地形略图，该光伏发电站采用固定仰角光伏板进行发电，采光面朝正南方向。图中阴影处未安装光伏板，虚线内甲区域地形平坦。据此完成 3—4 题。



3. 图示阴影处未安装光伏板的主要影响因素是　（　）
A. 坡度　　B. 坡向
C. 风力　　D. 风向

4. 甲区域单位面积发电量小于图示其他区域（阴影处除外），主要是因为甲区域　（　）
A. 海拔低，大气削弱作用强
B. 地形较平坦，阳光照射效果较差
C. 湿度大，易产生云雾现象
D. 为避免遮光，光伏板南北间距大

［2026 陕西榆林一模］中华龙鸟化石（图甲）是我国地质学者在辽宁省西部地层中发现的，是被发现最早的带羽毛的恐龙化石，有力支持了鸟类起源于小型兽脚类恐龙的观点。科学家提出了陆地奔跑飞行起源假说，解释了原始鸟类由陆地飞向天空的演化过程，图乙为原始鸟类快速奔跑复原图。据此完成 5—6 题。


甲


乙

5. 原始鸟类化石可能出现在　（　）
A. 早于龙鸟化石地层的砂岩层
B. 含有龙鸟化石地层的页岩层
C. 晚于龙鸟化石地层的石灰岩层
D. 晚于龙鸟化石地层的花岗岩层

6. 促使原始鸟类由奔跑向飞行演化的直接原因有　（　）
①地震频繁　　②躲避天敌
③争抢食物　　④天气多变
A. ①③　　B. ②④　　C. ②③　　D. ③④

时代热点［2026 湖南衡阳一模］2025 年 9 月 9 日 03 时 48 分，捷龙三号运载火箭在山东日照附近海域发射升空，顺利将吉利星座 05 组 11 颗卫星送入预定轨道，当天 10 时 00 分，长征七号改运载火箭在海南文昌航天发射场点火起飞，顺利将遥感四十五号卫星送入预定轨道。据此完成 7—8 题。

7. 与日照相比，文昌建设航天发射场的主要优势是　（　）
A. 纬度低，可节省燃料，提高火箭运力
B. 海拔高，大气稀薄，火箭飞行阻力小
C. 临海，便于火箭部件运输且残骸坠落安全风险低
D. 气候干旱，发射窗口期长

8. 当日，与日照相比，文昌　（　）
A. 正午太阳高度更小
B. 夜长更长
C. 自转角速度更大
D. 日出时间（地方时）更早

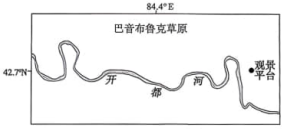
［2026 辽宁丹东质检］夏至日，小叶同学在我国峨眉山（约 29.5°N，103°E）全项拍摄了一张日出照片，随后该同学步行 6 个小时下山，下图为小叶同学手机拍摄的照片，图中显示的时间为拍摄照片时的北京时间。据此完成 9—10 题。



9. 推测该地冬至日日出照片的拍摄时间可能是北京时间　（　）
A. 6:38　　B. 7:38
C. 8:10　　D. 8:38

10. 该同学下山期间金顶的日影朝向　（　）
A. 一直朝向东北
B. 先朝东北后朝东南
C. 一直朝向西南
D. 先朝西南后朝西北

［2026 濮阳一高质检］开都河自东向西流经新疆巴音布鲁克草原，呈现出“九曲十八弯”的河道形态（图甲）。特殊月份，日落前约 1 小时，在适宜的太阳高度和光线反射位置影响下，从观景台朝正西望去可以观测到“九个太阳”的奇观（图乙）。据此完成 11—12 题。



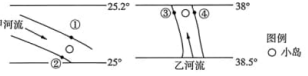
甲


乙

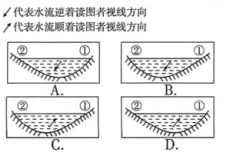
11. 推测观测到“九个太阳”奇观的月份　（　）
A. 华北平原洪水泛滥
B. 巴西高原草木葱茏
C. 南极科考如火如荼
D. 河西走廊昼长夜短

12. 当游客在此观测到“九个太阳”奇观时，北京时间约为　（　）
A. 15:30　　B. 17:30
C. 20:30　　D. 22:30

［2026 河南南阳期中］地转偏向力可以影响风向和水流的方向。下图示意甲、乙两河流下游河段的流向，顺着甲河流的流向看，①河岸在左侧，②河岸在右侧。据此完成 13—14 题。



13. 四图中能正确表示甲河流下游河段河床大致特征的是　（　）



14. 在地转偏向力的作用下，侵蚀和沉积在两岸的作用不同，受此影响甲、乙两河流中的小岛最终可能连接的岸提分别是　（　）
A. ①④　　B. ①③
C. ②③　　D. ②④

答案速查

第一单元

1—5 DCCAC 6—10 CDBCD 11—15 BADDB

16—20 AACDB

第二单元

A卷 1—5 DDBAA 6—10 CDDBA 11—15 DCBCB

16—20 BCBAA

B卷 1—5 CABDA 6—10 CABCD 11—16 DCBABA

第三单元

A卷 1—5 CBDCD 6—10 ACDAA 11—15 BBACA

16—20 CDBAC

B卷 1—5 BDDAB 6—10 ABCCD 11—16 CDABCA

第四单元

A卷 1—5 BACAB 6—10 ABDBD 11—15 CDADB

16—20 CDCBC

B卷 1—5 CADAB 6—10 DACCD 11—16 BDBCAB

第五单元

A卷 1—5 BACAC 6—10 CADAC 11—15 CBADD

16—20 BCDDB

B卷 1—5 ABCAD 6—10 BBDAC 11—16 DADCBC

第六单元

A卷 1—5 ACBDB 6—10 BDCDB 11—15 ABCCA

16—20 DCAAC

B卷 1—5 ABDAC 6—10 CCBCD 11—16 ADBBDB

第七单元

A卷 1—5 DABCB 6—10 DABCA 11—15 CDBDA

16—20 CBACD

B卷 1—5 BDDAC 6—10 BCBAA 11—16 DADBAC

第八单元

A卷 1—5 DCAAC 6—10 DBADB 11—15 ABBCA

16—20 ABDBC

B卷 1—5 CBBCA 6—10 DACDC 11—16 ABADDB

第九单元

1—5 DBDAD 6—10 CACBC 11—16 DABBDC

模块检测Ⅰ 自然地理

1—5 ACBCB 6—10 BDCDD 11—16 ACDAAB

第十单元

A卷 1—5 DBBDA 6—10 CABCC 11—15 ACCBD

16—20 DADBB

B卷 1—5 BCCAA 6—10 BDCCD 11—16 BDABAD

第十一单元

A卷 1—5 DAADC 6—10 ADABC 11—15 ABBCB

16—20 DDBCD

B卷 1—5 ACCBA 6—10 DBDBD 11—16 DABCBD

剩余答案见反面

天星教育 | 上课认真听 下课练天星

金考卷™ 20+年试卷品牌

6维启发式解析册

像学霸一样思考

1维 答案速查，快速知对错

2维 精准解图，清晰读图表

3维 情境拆解，高效解信息

4维 思路拓展，多角度思考

5维 技法总结，快速破方法

6维 表格解析，逐项解疑惑

地理

2027新高考

目录

CONTENTS

季风不会迷路，你此刻的坚持，会塑造自己独特的降水格局。

第一单元　地球与地图 …… 01
第二单元　宇宙中的地球与地球运动
A卷　基础过关检测 …… 02
B卷　滚动提升检测 …… 04
第三单元　大气的组成与受热过程、热力环流
A卷　基础过关检测 …… 06
B卷　滚动提升检测 …… 08
第四单元　天气、气压带、风带与气候
A卷　基础过关检测 …… 11
B卷　滚动提升检测 …… 13
第五单元　地球上的水与水的运动
A卷　基础过关检测 …… 15
B卷　滚动提升检测 …… 17
第六单元　地表形态的塑造
A卷　基础过关检测 …… 20
B卷　滚动提升检测 …… 22
第七单元　植被与土壤
A卷　基础过关检测 …… 25
B卷　滚动提升检测 …… 27
第八单元　自然环境的整体性和差异性
A卷　基础过关检测 …… 29
B卷　滚动提升检测 …… 31
第九单元　自然灾害与3S技术 …… 34
模块检测Ⅰ　自然地理 …… 36
第十单元　人口的变化
A卷　基础过关检测 …… 38
B卷　滚动提升检测 …… 40
第十一单元　乡村和城镇
A卷　基础过关检测 …… 43
B卷　滚动提升检测 …… 45
第十二单元　农业区位因素及其变化
A卷　基础过关检测 …… 48
B卷　滚动提升检测 …… 50
第十三单元　工业区位因素及其变化
A卷　基础过关检测 …… 52
B卷　滚动提升检测 …… 54
第十四单元　服务业区位因素及其变化
A卷　基础过关检测 …… 56
B卷　滚动提升检测 …… 58
第十五单元　交通运输布局 …… 61
模块检测Ⅱ　人文地理 …… 63
第十六单元　城市、产业与区域发展 …… 65
第十七单元　资源、环境与区域发展
A卷　基础过关检测 …… 68
B卷　滚动提升检测 …… 70
第十八单元　区际联系与区域协调发展
A卷　基础过关检测 …… 73
B卷　滚动提升检测 …… 75
第十九单元　自然资源与国家安全
A卷　基础过关检测 …… 78
B卷　滚动提升检测 …… 80
第二十单元　生态环境与国家安全
A卷　基础过关检测 …… 83
B卷　滚动提升检测 …… 85
模块检测Ⅲ　区域发展与资源、环境安全 …… 88
一轮终结验收
高考仿真预测卷Ⅰ …… 91
高考仿真预测卷Ⅱ …… 94

6维启发式解析

第一单元　地球与地图

1.D 读图能力　D(√)读图乙可知,浏览窗口中选中的对象为喷水池,其建筑面积是最小的,应对应图甲中的图形④。

2.C 方向、方位判断　C(√),A、B、D(×)据图可知,②面积最大,为教学楼,③面积其次,为学生宿舍,④为喷水池,①为食堂,图中无指向标与经纬线,因此方向判定遵循"上北下南、左西右东"的原则,教学楼在喷水池的正东方向,学生宿舍在教学楼的西南方向,食堂在喷水池的东北方向,学生宿舍在食堂的正南方向。

3.C 利用经纬网定方向　C(√)由图中纬度可知,马塞卢位于南半球,安道尔位于北半球,安道尔在马塞卢的北侧;两图的经度均为向东度数增大,为东经,安道尔的经度数更小,其在马塞卢的西侧,故安道尔在马塞卢的西北方向。

4.A 自然条件判断　①②(√)由图文材料可知,与莱索托相比,安道尔纬度较高,海拔较高,温度较低,积雪保存时间长,适宜发展滑雪运动;③④(×)两国均为内陆国,受寒流影响均不大。综上可知,A项正确。

5.C 等高线地形图及其判读　A(×)河流由高处流向低处,图中河流流经地区整体西高东低,河流流向先向东北再转向东南;B(×)道路多沿山谷(河谷)分布;C(√)根据图中比例尺可知,图上距离1厘米代表实地距离1 500米,据此判断考察点①②间的直线距离约2.1千米;D(×)根据比例尺,图中区域南北跨度大约5 000米,同一条经线上纬度相差1°,距离约为111千米,故南北纬度差远小于1°。

6.C 地形剖面图的绘制　C(√),A、B、D(×)读图可知,甲山峰海拔为1 000—1 100米,而乙山峰海拔为700—800米,两地之间海拔先下降后上升,C项符合。

技法总结　快速破方法

等高线地形图的判读方法

角度	内容	
数值范围	①区域地势起伏大小。 ②海拔最大值、最小值。	平原:海拔在200 m以下,等高线稀疏,较为平直。 丘陵:海拔在500 m以下,相对高度小于200 m,等高线稀疏,弯折部分较和缓。 山地:海拔在500 m以上,相对高度大于200 m,等高线较密集。 高原:海拔较高(1 000 m以上),相对高度小,等高线在边缘处十分密集,而顶部明显稀疏。 盆地:海拔没有一定标准,四周等高线较密集,数值大;中间等高线较稀疏,数值小。
延伸方向	区域等高线的凸出方向	
疏密程度	①坡度一密陡疏缓。 ②坡面凸凹:高疏低密—凸坡,高密低疏—凹坡。	陡坡发展水土保持林,缓坡修梯田;公路尽量沿等高线修建,"之"字形道路可降低道路坡度
弯曲状况	凸低为高,凸高为低	①判断山脊(凸低为高)、山谷(凸高为低)、鞍部(两山峰或山谷之间的接合部)。 ②河流流向与等高线弯曲方向相反。

续表

角度	内容	
局部闭合	①山顶、山峰:中间高四周低。②盆地、洼地:四周高中间低。	可结合地层剖面图,判断背斜成谷、向斜成山等

7.D 由地质剖面图判断海岸线变化　A(×)同一时期在海洋中形成的砂岩、页岩、石灰岩在水平方向上是从浅海到深海依次排列的,故④→③表示石灰岩→页岩,由深到浅,是海退;D(√),B、C(×)砂砾岩为陆相沉积物,形成砂砾岩层说明地层裸露,开始形成陆相沉积物,故③→②说明由海洋环境变为陆地环境,为海退,②→①说明由陆地环境变为海洋环境,为海进,③→①说明先海退后海进。

8.B 由地质剖面图判断地质事件　①(√)褶皱是典型的挤压构造,图中丙褶皱是岩层水平挤压的结果;②(√)乙断层的岩层发生错位,是岩层垂直移动的结果;③(×)图中甲侵入岩呈不规则形态贯穿部分沉积岩层,未明显沿断层分布;④(√)甲侵入岩周围有接触变质带(MN)。综上可知,B项正确。

9.C 海平面变化的影响　A(×)②→①时期为海进,海岸线向陆地方向推进,晚古生代海洋面积缩小,对应海退;B(×)海沟位置向大陆方向移动,说明大洋板块向大陆板块俯冲,不一定发生海进;C(√)部分珊瑚岛国举国搬迁是海平面上升所致,对应海进;D(×)海退可能会使大陆总面积扩大。

10.D 地层接触关系　A、B(×)图中①②为断层,没有沉积间断或地面的侵蚀;C(×)③处上下岩层时代顺序不连续,说明岩层的沉积不连续,但读图可知,③处上方J地层形成前发生褶皱运动;D(√)④处岩层志留纪和石炭纪之间并没有泥盆纪地层,因此沉积时代顺序不连续,表明地层形成期间该地发生过整体的地壳升降运动,有过沉积间断或者地面的侵蚀,其地层连接处几乎为平行的,说明地层形成时没有发生过褶皱运动,为假整合。

11.B 地质过程　B(√)由图分析可知,图中先经历了沉积作用,形成了多种沉积岩;图中沉积岩形态存在褶皱,说明沉积岩形成之后,受到了水平挤压;花岗岩侵入了P、C、S、O层,并未侵入J、K岩层,说明是P、C、S、O层形成且发生褶皱后,才发生的岩浆侵入;P、C、S、O沉积岩和花岗岩都被断层截断,说明断层形成于花岗岩之后;被断层截断的C、S沉积岩上方又形成了J、K沉积岩,但断层未截断这两层岩层,由此可知最后发生了沉积作用,故该区域地质过程的先后顺序为沉积作用—水平挤压—岩浆侵入—断层—沉积作用。

12.A 岩层形成顺序判断　A(√)①断层西侧缺少S地层,推测①断层西侧岩层相对上升,原本的S地层遭受侵蚀;B(×)④处的C为石炭纪岩层,S为志留纪岩层,属于古生代,而古猿人出现在新生代,故④处不可见古猿人化石;C、D(×)③处C岩层上方缺少S沉积岩层,且C岩层上方存在凹陷,说明其被侵蚀,沉积曾经中断。

13.D　洋流的性质及成因　A(×)读图并结合所学知识可知，洋流①为秘鲁寒流，是离岸风形成的上升补偿流；B(×)洋流②为南赤道暖流，是东南信风吹拂表层海水向西流动形成的风海流；C(×)洋流③为东澳大利亚暖流；D(√)洋流④为西风漂流，为寒流，是盛行西风吹拂表层海水流动形成的。

14.D　等温线判读　德雷克海峡西侧水位增高、北上水流增加，表现为南半球的寒流。B、C(×)B、C项所示越往南水温越高，不符合南半球水温特点；A(×)洋流的流向与等温线的凸向相同，A项所示等温线向南凸，洋流向南流，且洋流的水温较流经海区高，为暖流；D(√)D项所示等温线向北凸，洋流向北流，且洋流的水温较流经海区低，为寒流。

思路拓展　多角度思考

小编问

问题一　德雷克海峡海冰异常偏多对秘鲁渔场有什么影响？

问题二　德雷克海峡海冰异常偏多对我国气候可能有哪些影响？

思路点睛

问题一　德雷克海峡海冰异常偏多，会使南美洲西部洋流北上增多，海水温度降低，更有利于冷水鱼繁殖，秘鲁渔场渔业资源增加。

问题二　德雷克海峡海冰异常偏多，秘鲁寒流变强，使东太平洋表面海水变冷，增强沃克环流，太平洋东部水温异常降低，可能发生拉尼娜现象，可能导致热带气旋登陆我国次数增加，冬季冷气团频繁南下，可能形成寒冬。

15.B　南北半球季节判断　B(√)读图可知，此时澳大利亚陆地上分布有高压中心，可判断此时应为澳大利亚冬季，澳大利亚在南半球，与我国季节相反，故我国此时应处于夏季，该日可能为我国小暑节气；A、C、D(×)惊蛰是春季节气，寒露是秋季节气，立冬是冬季节气。

16.A　读图能力及天气的判断　A(√)，B、C、D(×)澳大利亚位于南半球，北侧纬度较低，分布着暖气团，南侧纬度较高，分布着冷气团，该锋线南侧有一低压中心(气旋)，由所学知识可知，南半球气旋气流是顺时针方向流动，图示锋线附近，气流运动表现为由西南侧纬度较高的冷气团主动向东北侧纬度较低的暖气团移动，锋的性质是冷锋。

17.A　天气的判断　A(√)由图可知，丙地位于高压脊附近，天气晴朗干燥；B(×)图示季节是南半球冬季，乙地属于地中海气候，冬季降水较多；C(×)丁地位于低压中心，但此时是南半球冬季，冬季不易形成台风，且即使形成台风，其规模应较小；D(×)甲地气压值可能是 1 036—1 040 hPa。

18.C　影响植被分布差异的因素　A(×)由图可知，考察点 1 和考察点 2 都位于东坡；B(×)两地海拔差异小，热量条件差异小；C(√)考察点 1 位于谷地，汇水条件好，水分条件好，考察点 2 位于山脊，水分条件差；D(×)处于同一区域，土壤差异小。

19.D　影响植物叶片的因素　D(√)，A、B(×)考察点 1 水分条件好，考察点 2 水分条件相对较差，所以考察点 2 植被具有耐旱的特征，肉质叶片、叶片内卷、革质层厚均为耐旱特征；C(×)叶片面积大，蒸腾作用强，应为考察点 1 的植物叶片特征。

20.B　植被的演替　B(√)，A、C、D(×)由材料可知，该地位于我国南方季风气候区，海拔不高，两地条件差异不大，所以自然演替应该向当地地带性植被亚热带常绿阔叶林演变，将会以阔叶林为主，差异不断缩小。

21.等高线判读、地形特征描述

【解题思路】　第(1)问，根据图示等高线信息可知，该地区海拔多在 300—400 米，以低山丘陵为主；图示区域内相对高差不大，整体上地势起伏不大；北部海拔较高，东南部海拔在 300 米以下。第(2)问，据图可知，点标 4 处等高线凸向高处，说明该地为山谷地带，而该地区为亚热带季风气候，夏季多暴雨，若发生暴雨，则点标 4 处容易发生山洪和泥石流等灾害，威胁参赛者安全。第(3)问，据图可知，点标 1 至点标 2 段前半段地形较为平坦，但是后半段等高线密集、坡度较大，参赛者需要爬上高度较大的山坡，且点标 1 至点标 2 段整体上距离大于点标 6 至点标 7 段，参赛者消耗的体力较大；而点标 6 至点标 7 段虽然前一小段等高线较为密集，也需要爬上山坡，但是该段后段以下坡为主，沿着山谷处下坡，与上坡相比要相对省力。因此整体上点标 1 至点标 2 段的难度要大于点标 6 至点标 7 段。第(4)问，主要从近路的地势和周围环境两个方面分析。

【参考答案】　(1)以低山丘陵为主，地势起伏不大，北部海拔高，东南部海拔最低。(4 分)

(2)点标 4 位于山谷，夏季多暴雨，该处易发生洪水、泥石流等灾害。(4 分)

(3)点标 1 至点标 2 段的难度大于点标 6 至点标 7 段。(2 分)点标 1 至点标 2 段整体上距离较长，后半段需要爬上坡度较大的山脊，难度较大；点标 6 至点标 7 段虽然前一小段也需要爬上山坡，但爬升高度小于点标 1 至点标 2 段，且后段主要沿着山谷下坡，坡度不大，难度相对较小。(4 分)

(4)近路途经山脊和谷地，前半程坡度较大，难度大，参赛者耗费体力大，后半程下坡，参赛者会加速行进，危险性大；近路的大部分行程在谷地中，此时正值夏季，可能在谷地遭遇暴雨带来的洪水，且植被繁茂，既影响参赛者的行进速度，又易导致参赛者迷路；近路距道路远，受人类活动影响小，野生动物多，参赛者易遇到危险。(6 分)

第二单元　宇宙中的地球与地球运动

A卷　基础过关检测

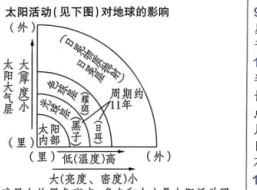
1.D　太阳系小行星的运动　A(×)由材料可知，该小行星的公转周期约为 4 年，比地球公转周期长，故公转角速度比地球更慢；B(×)该小行星绕日公转，所属的天体系统为太阳系，不属于地月系；C(×)该小行星的公转轨道位于木星公转轨道以内，而土星位于木星公转轨道之外，因此该小行星不可能与土星相撞；D(√)该小行星的轨道近日点位于地球轨道以内，远日点则接近木星轨道，火星公转轨道位于地球公转轨道与木星公转轨道之间，因此该小行星会穿越火星公转轨道。

2.D　小行星的特点　D(√)地球存在大气的原因是地球有适宜的体积和质量，天体具有一定的引力才能聚拢足够的大气，而决定天体引力的正是其体积和质量，故小行星 2024 YR4 表面没有大气的原因是其体积质量太小；A(×)与太阳的距离主要影响温度，小行星缺乏大气主要是由于引力不足而非距离太阳太远；B、C(×)小行星表面温度和自转速度与其表面是否存在气体相关性不大。

3.B　太阳活动　B(√)题图所示的“突然增亮的斑块”最可能是耀斑；A(×)黑子在可见光下表现为太阳表面较暗的斑块；C(×)日珥位于色球层且常呈弧状；D(×)日冕物质抛射主要表现为向外抛射大量带电粒子。

4.A　太阳活动对地球的影响　①(√)黑龙江漠河纬度较高，太阳耀斑剧烈爆发时，可能拍摄到极光；③(×)地震与太阳活动相关性不大；②(√)、④(×)太阳耀斑剧烈爆发时，以高能粒子喷发等方式放出辐射能，这种辐射能到达地球，会扰动地球磁场和大气层中的电离层，影响短波通信，会影响借鸽辨别方向的能力，使信鸽迷航事件多发。综上可知，A 项正确。

技法总结　快速破方法



(1)黑子：光球层上的黑色斑点，多少和大小是太阳活动强弱的标志。

(2)耀斑：色球层上大而亮的斑块，耀斑爆发导致电磁波进入电离层，电离层受到扰动会干扰无线电短波通信。

(3)日珥、日冕物质抛射：

①高能带电粒子扰动地球磁场，产生磁暴现象。

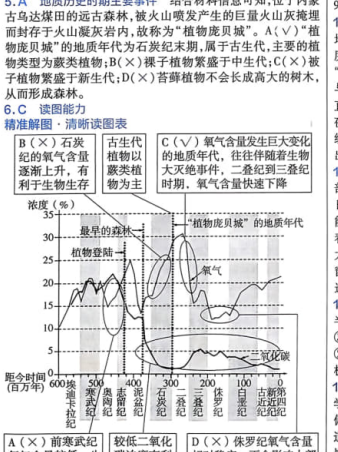
②高能带电粒子冲进两极高空同稀薄大气碰撞产生极光。

注意：黑子与耀斑往往同时爆发，周期约为 11 年。

5.A　地质历史时期主要事件　结合材料信息可知，位于内蒙古乌达煤田的远古森林，被火山喷发产生的巨量火山灰掩埋而封存于火山凝灰岩内，故称为“植物庞贝城”。A(√)“植物庞贝城”的地质年代为石炭纪末期，属于古生代，主要的植物类型为蕨类植物；B(×)裸子植物繁盛于中生代；C(×)被子植物繁盛于新生代；D(×)苔藓植物不会长成高大的树木，从而形成森林。

6.C　读图能力

精准解图·清晰读图表



7.D　地球的圈层结构　A(×)深地塔科 1 井钻至 10 910 m(约 10.91 千米)处，大陆地壳平均厚度为 39—41 千米，仍在地壳范围内，并非地幔；B(×)“奋斗者”号探测 9 533 m 处海沟，海沟在海水区域，处于水圈；C(×)海沟底部地质流体活动主要发生在地壳或地幔上部，并非地核；D(√)地壳断裂带微生物生存处属于地壳。

8.D　深海生物的能量来源　A(×)太阳辐射能是地表生物的主要能量来源，但深海 9 533 m 处阳光无法照射到；B(×)海洋波浪能由风能转化而来，能量集中在海洋表面；C(×)海洋潮汐能由月球和太阳的引力作用形成，并非化合能合成生命群落的直接能量来源；D(√)深海化能合成生命群落依赖地球内部化学能，如地热活动释放的化学能等。

9.B　北极星的仰视角　B(√)为了保证观测效果，观测北极星时天文望远镜镜筒的倾角为北极星的仰视角，其大小约等于当地纬度，该地纬度为 31°N，所以镜筒倾角约为 31°。

10.A　昼夜长短的判断　A(√)北极星位于北极上空，在北半球晴朗的夜空，可观测北极星时间较长的日期应该是夜较长的日期，即离冬至日最近的日期；B(×)3 月 5 日，太阳直射点靠近赤道，该日北半球夜晚时长不如 1 月 1 日长；C(×)9 月 3 日，太阳直射点位于北半球，北半球昼长夜短，相比 1 月 1 日，该日夜晚时长较短；D(×)10 月 25 日，太阳直射南半球，不过该日北半球夜晚时长不如 1 月 1 日长。

11.D　杆影确定太阳方位　D(√)读图可知，当杆影与 OC 重合，此时杆影最短，为正午时刻。该地(36°N)位于北回归线以北，太阳直射点终年在其南方，故正午时太阳方位为正南。

12.C　地方时的计算　C(√)读图，测量首日当杆影端点重新落在圆周上时的杆影为 L2，图中 L2 与 L1 长度相等，依据关于正午对称的地方时的影长相等，可判断图中两杆影对应的地方时与当地地方时 12:00 的时差相等。当地经度为 117°E、地方时较北京时间(120°E 地方时)晚 12 分钟，故测量 L1 时地方时为 9:20－0:12＝9:08，测量 L2 的地方时则为 12＋(12－9:08)＝14:52，测量 L2 的北京时间则为 14:52＋0:12＝15:04。

13.B　太阳直射点的变化　B(√)、C(×)据材料可知，“当地的正午太阳高度为 70°”，那么该地纬度与太阳直射点的纬度相差 20°，当地纬度为 36°N，故太阳直射点的纬度为 16°N，“之后连续两天测量发现正午太阳高度角在增大”，说明当地与直射点的纬度差减小，太阳直射点向北移动，测量期间太阳直射北半球且北移，故位于北半球的该地昼长夜短且昼渐长夜渐短，日出时刻提前、日落时刻推迟；A(×)该地在北回归线以北，正午日影始终朝北；D(×)太阳直射北半球，该地日出东北、日落西北。

14.C　正午太阳高度角的计算　C(√)该居民楼位于我国东部 30°N 某地，夏半年大约自春分日到秋分日，这期间春、秋分日的正午太阳高度最低，所以只要春、秋分日正午太阳光线不能射入室内，夏半年其他时间都可以保证正午时刻充分遮阳。春、秋分日太阳直射赤道，通过计算可知，该地春、秋分日正午太阳高度为 90° － 30° ＝ 60°，那么 tan30° ＝遮阳板长度/玻璃窗高度，依照公式计算得出遮阳板长度约为 1 392 mm，结合选项，1 400 mm 最为接近。

15.B　影响光伏板发电量的因素　①④(×)冬季太阳直射南半球，我国东部地区昼短夜长，日照时间短，太阳辐射弱；③(√)冬季受亚洲高压影响，晴天较多，有利于光伏发电；②(√)图示光伏板垂直放置，太阳高度越小，太阳光线与光伏板之间的夹角越接近垂直，发电量较大。综上可知，B 项正确。

16.B　根据河岸形态判断南北半球　B(√)，A、C(×)根据所学知识可知，水平运动物体在北半球向右偏转，在南半球向左偏转，赤道上无偏转。由材料可知，该河段为平直河段，则河道形态主要受地转偏向力的影响。该河段顺着河水流向的右岸河道较深，侵蚀作用较强，左岸河道较浅，沉积作用较强，表明河水向右偏转，根据水平运动物体偏向规律判断此河段可能位于北半球；D(×)图中没有信息可以判断此河流位于极圈附近。

星老师“说”

高考创新考法打破了常规套路，改变了思维习惯，不熟悉的同学会感到不适应，望而生畏。事实上，只要具有扎实的基本功和良好的心态，同样可以取得好成绩。

河南语文高级教师王老师

高考创新考法的练习能让学生提前接触多样化的题型和解题策略，熟悉考试风格，避免在考场上手足无措。这种熟悉感能帮助学生在考试时更加自信，轻松应对各种变化。

湖北数学特级教师宋老师

创新考法的练习能锻炼学生的思维灵活度和创造性，培养解决问题的能力。面对难题时学会用不同的方法思考，从而找到最合适的解法，真正做到“题不怕难，思路先行”。

江苏物理高级教师肖老师

创新考法试题通常涉及跨学科知识应用，能帮助学生提高综合分析能力和解决实际问题的能力，培养批判性思维和创造性思维，提高应对不确定性和新挑战的能力。

江西化学高级教师朱老师

增值服务

PPT课件 | 名校模拟卷 | 视频微课 | 电子答题卡 | 英语听力 | 英语全文翻译 | QQ答疑群 767241256

天星教育 | 上课认真听 下课练天星

金考卷 20+年试卷品牌

赠册

创新考法超前练

根据近3年考情编写，锁定命题方向

近3年考情解读 ⊕ 11种创新考法 ⊕ 60+视频微课

剖析命题新趋势 明确复习新靶心 | 练透创新考法 激活解题思维 | 涵盖9大学科 专讲重难易错

地理

2027新高考

目录

CONTENTS

时间会把你每一层的努力，都写成坚实的地质年鉴。

创新考法 ❶ 地理过程

类型 1 天气过程 …… 01 (答案 16)
下击暴流与近地面气象要素变化
冻雨、冰粒等多种降水相态变化
爆发性气旋形成过程与移动路径

类型 2 地质过程 …… 02 (答案 16)
地质剖面图与地理过程
黄河浮雕的形成

类型 3 城镇化及城乡空间演变 …… 03 (答案 17)
抚顺市城市空间发展历程
独龙族聚落结构演化过程
人口城镇化与土地城镇化耦合关系

创新考法 ❷ 多角度融合

类型 4 要素融合 …… 06 (答案 19)
地球运动与城市旅游融合
自然要素和遗址保护与开发

类型 5 学科融合 …… 07 (答案 19)
与数学融合——太阳回归运动与数学图像
与历史融合——人口迁移与英国历史
与化学融合——喀斯特地貌与化学元素

创新考法 ❸ 地理实践

类型 6 实验设计 …… 08 (答案 20)
柑橘林不同降雨强度下水土流失防治效果实验设计
有机质与土壤有效水的关系模拟实验

类型 7 野外考察与 3S 技术应用 …… 10 (答案 21)
黄土高原水土流失治理研学活动
3S 技术与胜利农场智慧农业

类型 8 社会调研 …… 12 (答案 21)
关于新建运动场馆的调查方案设计
社区养老服务驿站社会调查

创新考法 ❹ 综合论述

类型 9 典型地理事象 …… 13 (答案 22)
气候变化与长城位置变迁
秦岭地理意义论述

类型 10 国家安全 …… 14 (答案 23)
保护作物种质资源与国家安全
我国推广盐碱地综合治理模式的意义

类型 11 实验修正与评价 …… 15 (答案 24)
实验设计指标修正与完善
多角度评价野外考察设计方案

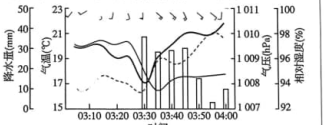


创新考法 1 地理过程

创新考法解读 地理过程是指地理事物随时间的推移而出现的动态变化过程，包括地理循环过程、地理演变过程、地理波动变化过程和地理扩散过程等。地理过程类试题已成为新高考推行以来各地命题的高频考点与核心能力指向，着重考查学生的动态综合分析能力与地理演变机制理解。对于自然地理过程的考查，注重其形成机制和演变规律的分析，核心是自然界的物质循环和能量交换；对于人文地理过程，侧重关注其变化的原因及影响，核心是以人为主体，实现社会经济良好发展和生态可持续发展。

类型 1 天气过程 » 答案 16

［2026 山西大学附中期中］对流风暴中的强下沉气流被称为下击暴流，其发生时通常会在近地面附近产生大风。下图为我国某地某次受下击暴流影响近地面气象要素变化统计图。据此完成 1—2 题。



1. 此次下击暴流到来时，该地 （ ）
①气温迅速升高　②气压升至最高
③相对湿度达到最低　④降水量达到最大
A. ①② B. ②③ C. ③④ D. ①④

2. 下击暴流到来时，该地位于下击暴流的 （ ）
A. 西南侧 B. 东北侧 C. 东南侧 D. 西北侧

［2026 浙江金华一模］冻雨是过冷水滴在降落过程中遇到温度低于 0 ℃ 的物体，迅速冻结成冰的降水现象。低层冷垫是指近地面存在的一层气温低于 0 ℃ 的冷空气层，直接影响冻雨的形成。下表示意某地两个时刻的大气层部分数据，该地在此时段经历了冻雨、冰粒等多种降水相态变化。据此完成 3—4 题。

时间	降水相态	云顶		融化层		低层冷垫	
		气压(hPa)	温度(℃)	最高温度(℃)	高度(m)	厚度(m)	最低温度(℃)
2 日 20 时	冻雨	539.5	−13	4.6	1 469—3 088	1 414	−4
3 日 08 时	冰粒	332.4	−38.2	2.5	1 717—2 732	1 625	−6.3

3. 推测影响该地降水相态变化的主要因素是 （ ）
①上层云顶气压值的变化　②融化层厚度的变化
③低层冷垫厚度的变化　④融化层温度的变化
A. ①②③ B. ①②④ C. ①③④ D. ②③④

4. 关于两个时刻降水相态及相关要素的描述，正确的是 （ ）
A. 冻雨形成时云顶气压比冰粒形成时高，说明冻雨形成于更高的高度
B. 冰粒形成时融化层的最高温度较低，更有利于冰粒的保存而形成降水
C. 冻雨形成时低层冷垫最低温度较高，故冻雨在降落过程中不易冻结
D. 与冰粒相比，冻雨形成时融化层厚度较小，降水强度更大、范围更广

5. ［2026 安徽六安二模］(12 分) 阅读图文材料，完成下列要求。

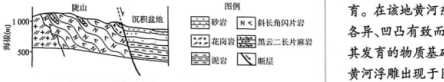
某年 1 月 3 日至 6 日，北大西洋发生了爆发性气旋。爆发性气旋是指在短时间内快速发展的温带气旋，受海—气相互作用的影响显著，其形成过程是冷空气快速南下，迫使暖湿空气抬升，其中心气压在 24 小时内下降超过 24 百帕。下图示意该爆发性气旋移动路径。



(1) 描述该爆发性气旋的形成过程。(6 分)

(2) 在图中该气旋移动路径上用“○”画出中心气压最低值所在的位置，并说明理由。(6 分)

[2026 郑州四中月考]陇山地区是秦岭—祁连造山带的一部分,斜长角闪片岩和镶嵌在其中的黑云二长片麻岩是该区域的两种变质岩,形成斜长角闪片岩的原岩是一种侵入岩,形成黑云二长片麻岩的原岩是碎屑岩。断层两侧相对上升的叫上升盘,相对下降的叫下降盘。下图为该区域某地的地质剖面图。据此完成1—3题。



1. 黑云二长片麻岩形成的主要原因是 ( )
A. 斜长角闪片岩的变质作用
B. 河流沉积物固结成岩
C. 岩浆侵入时包裹周围岩块
D. 岩浆喷出时快速冷凝

2. 陇山形成的地质过程主要是 ( )
A. 变质作用—断裂抬升—风化剥蚀—岩浆侵入
B. 岩浆侵入—变质作用—断裂抬升—风化剥蚀
C. 变质作用—岩浆侵入—风化剥蚀—断裂抬升
D. 岩浆侵入—风化剥蚀—变质作用—断裂抬升

3. 造成该区域未来地势起伏变大的原因最可能是 ( )
A. 断层上升盘上升速率等于下降盘物质沉积速率
B. 断层下降盘下降速率等于下降盘物质沉积速率
C. 断层上升盘上升速率小于下降盘物质沉积速率
D. 断层上升盘上升速率大于下降盘物质沉积速率

[2026 武汉二中月考]下面图甲示意美国西部犹他州拱门国家公园的标志性景观之一。该景观外观呈拱形,景观主体为砂岩,周边地表植被稀疏,所在地年降水量不大,地质历史时期曾为海洋环境。湖南省张家界市也有类似的地质景观——天门洞(图乙),它是世界上海拔最高的天然穿山溶洞。据此完成4—5题。


甲

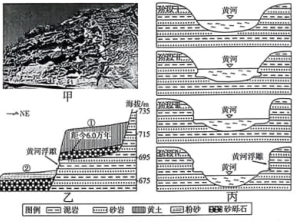

乙

4. 下列有关图甲中景观的形成过程排序最合理的是 ( )
①受风化作用,砂岩沿节理形成孔洞
②海洋环境下,泥沙沉积并固结成砂岩
③砂岩岩层持续遭受挤压,发育多组节理
④地壳抬升,区域由海洋转为陆地
⑤风力磨蚀修饰,拱门形态最终定型
A. ②→③→④→①→⑤ B. ②→④→①→③→⑤
C. ②→④→③→①→⑤ D. ①→②→④→③→⑤

5. 导致图甲、图乙两种景观的形成过程差异的主要因素有 ( )
A. 气候、内力作用 B. 地形、岩石类型
C. 气候、岩石类型 D. 内力作用、地形

6. [2025 广东卷](20 分)阅读图文材料,完成下列要求。

在晋陕峡谷山西临县段黄河两侧有河流阶地发育。在该地黄河东岸崖壁上发育的微地貌,因其形态各异、四凸有致而被形象地称为“黄河浮雕”(图甲),其发育的物质基础由坚硬砂岩和较软泥岩互层构成。黄河浮雕出现于图乙所示部位。图丙示意某学者提出的外力作用对黄河浮雕形成的影响过程模式。

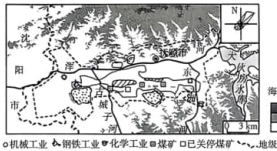


(1)根据图丙所示过程模式,描述黄河浮雕形成的主要外力作用过程。(8 分)

(2)结合图乙中阶地①地层的沉积环境差异和黄土层最底部的年代,该学者推测黄河浮雕的形成不早于距今 6.0 万年。请给出此推断的依据。(6 分)

(3)最近,某中学研学小组在该地考察黄河浮雕过程中,发现在图乙中阶地②上的粉砂层表层沉积物粒径呈现下粗、上细的特征,同学们推测这与黄河水流中的携泥沙差异性沉降相关。请你设计一个小实验(写出主要的实验步骤),根据实验结果证实该研学小组的推测是合理的。(6 分)

[2026 日照一中期中]辽宁省抚顺市是我国北方重要的工业基地(下图)。该市早期城市中心和工矿区主要分布在浑河南岸。由于煤炭开采与城市建设矛盾日益突出,1972 年该市城市发展重心开始向浑河北岸转移,然而 1983 年城市发展重心又转回浑河南岸。近年来,抚顺市不断转变发展方式,推动城市高质量发展。据此完成 1—3 题。

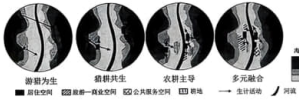


1. 影响抚顺市早期城市呈带状分布于浑河南岸的主要因素是 ( )
A. 风向 B. 地形 C. 资源 D. 河流

2. 导致抚顺市城市发展重心先后转移的原因分别可能为 ( )
A. 南岸环境污染 经济依赖重化工业
B. 南岸资源枯竭 北岸发展空间狭小
C. 北岸土地广阔 南岸煤炭资源枯竭
D. 北岸交通改善 南岸城区环境优美

3. 为推动抚顺市转型发展,下列措施可行的有 ( )
①向东不断建设新城镇发展带
②西侧积极承接沈阳产业转移
③向北不断拓展工业发展空间
④推进产业升级、绿色化转型
A. ①③ B. ①④ C. ②③ D. ②④

[2025 甘肃卷]独龙族早期以游猎为生,散居在我国横断山脉独龙江流域的高山峡谷。20 世纪 50 年代以来聚落结构发生了快速变化。近些年,依托山水林田发展旅游、商贸等经济,形成了多元融合的聚落。下图示意独龙族聚落结构的演化过程。据此完成 4—6 题。

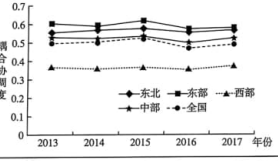


4. 独龙族在 ( )
A. 游猎为生阶段,居住空间呈聚集分布
B. 猎耕共生阶段,耕地散布在河谷低地
C. 农耕主导阶段,个体生计范围缩小
D. 多元融合阶段,公共服务空间分散

5. 独龙族聚落结构演化的主要原因是 ( )
A. 自然环境恶化 B. 地域文化传承
C. 人口规模缩小 D. 生产方式改变

6. 独龙族多元融合的聚落有利于 ( )
A. 奠定工业发展良好基础
B. 减轻谷底耕地环境压力
C. 恢复传统聚落景观格局
D. 实现区域人地协调发展

[2026 福建龙岩三模]人口城镇化和土地城镇化存在相互作用、相互依存的耦合关系,关乎经济社会正常运行,影响城市可持续发展。下图示意 2013—2017 年我国流动人口市民化意愿与土地城镇化率的耦合协调度,下表示意耦合协调度等级划分。据此完成 7—9 题。



耦合协调度	协调类型	耦合协调度	协调类型
[0,0.2]	极度失调	(0.5,0.6]	初级协调
(0.2,0.3]	严重失调	(0.6,0.7]	中级协调
(0.3,0.4]	中度失调	(0.7,0.8]	良好协调
(0.4,0.5]	轻度失调	(0.8,1.0]	优质协调

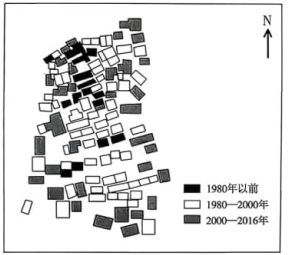
7. 2013—2017 年全国及不同地区耦合协调的情况是 ( )
A. 从整体来看,东北地区耦合协调度呈上升趋势
B. 东部地区的耦合协调度一直呈上升水平
C. 全国耦合协调度的平均状况表现为中级协调
D. 中部地区耦合协调度以中级协调为主

8. 2015—2017 年全国耦合协调度呈现图中趋势的主要原因是 ( )
A. 国家土地政策的调整 B. 城镇盲目扩张
C. 城镇化速度过快 D. 城乡差异日趋增大

9. 提升我国人口城镇化与土地城镇化耦合协调度,可采取的合理措施是 ( )
①通过降低落户门槛,实现公共服务均等化
②适度干预土地出让过程,提高土地利用效率
③利用存量土地开展大规模城市建设
④西部地区应将重心完全放在经济发展上
A. ①② B. ①③ C. ②④ D. ③④

10. [2026 华中师大一附中 5 月月考](18 分)阅读图文材料,完成下列要求。

某村位于我国东部地区,1980 年至今该村发展经历了三个阶段:1980 年起,大量开办采石场,工业蓬勃发展;2000 年后,实施植树还林、全域生态修复和土地整治,工业企业相继关停;2016 年开始开展美丽乡村建设和旅游开发。下图示意该村住宅建造年份。



(1)结合图文说明该村 1980—2016 年住宅用地变化特点。(6 分)

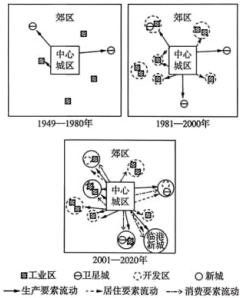
(2)分析该村 2000 年以后住宅闲置率较高的原因。(6 分)

(3)2016 年后该村住宅闲置率有所降低,请说明理由。(6 分)

11. [2026 如皋中学调研](22 分)阅读图文材料,完成下列要求。

材料一 新中国成立后,上海开启了郊区城镇化进程,逐步在郊区建设了许多功能区,促进各类要素在此集聚。2001 年后,上海在郊区建设新城,完善基础设施和公共服务设施建设,布局大型购物中心,逐步实现产城融合。临港新城东临东海,是上海产城融合的典范,规划新城生态空间占比不低于 50%,城市硬化地面主要由废弃陶片制成的再生地砖和透水沥青铺设,功能区围绕湖泊形成城市环带。

材料二 下图示意 1949—2020 年上海郊区城镇化进程。



(1)据材料二归纳 1949 年后上海郊区功能区演变的特点。(8 分)

(2)分析 2000 年以后三类要素向郊区流动对郊区居民生产生活产生的积极影响。(6 分)

(3)结合材料说明临港新城产城融合对我国其他城市生态建设的借鉴意义。(8 分)